高炉水砕スラグ埋立地盤の地盤特性の経時変化(その1. 固結の経時変化特性)

港湾空港技術研究所 正会員 菊池喜昭 北海道開発局 正会員 箕作幸治 沿岸技術研究センター 正会員 小野 幸一郎 鐵鋼スラグ協会 正会員 鈴木 操 〇藤井 郁男

1. はじめに

港湾分野における高炉水砕スラグ(以下,水砕スラグ)は、軽量・高強度等の優れた地盤特性の他に、潜在水硬性があり、裏込め材利用時の土圧軽減・液状化対策としてより合理的な材料として期待できる.しかし、現場での固結の

経時変化に関する調査事例¹⁾は、少ないのが実情である。そこで、製鉄所構内の現場にて長期在庫品および製造直後品の 2 種類の水砕スラグを用いて埋立を行い、経時的な固結特性について評価した。

2. 現場試験施工概要

試験施工を実施した埋立地盤は、図-1 に示すように、製鉄所構内 2 箇所を GL-6.3m まで掘削した後に、水砕スラグにより厚さ約 4.9m の埋立を行い、さらにその上部を掘削残土で約 1.4m の覆土で仕上げて築造した.

試験施工では、長期在庫品(製造後約2年:以下,水砕①)と製造直後品(製造から10日以内:以下,水砕②)の2種類の水砕スラグを用いた.

水砕①、水砕②ともに、施工後 1,3,6,10 か月後に標準貫入試験と試料採取および室内試験を実施し、施工後 12 か月後には試料採取と室内試験のみを実施した.さらに、水砕②では、施工後 9 か月後にも標準貫入試験と室内試験を実施した.尚、施工後 6 か月標準貫入試験は各 2-3 箇所、10 か月後の標準は水砕②のみ 2 箇所で実施し、その他は各 1 回ずつ実施した。また、試料の採取は 10 か月までは三重管サンプラーで行い、12 か月後ではシュー先端型サンプラーにより採取した.

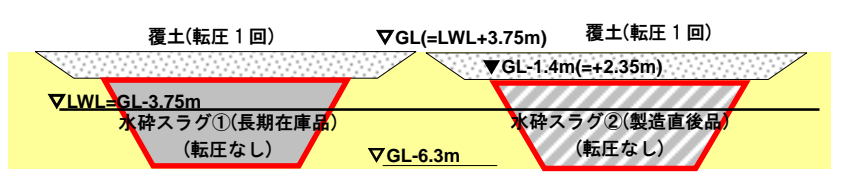


図-1 試験施工断面図

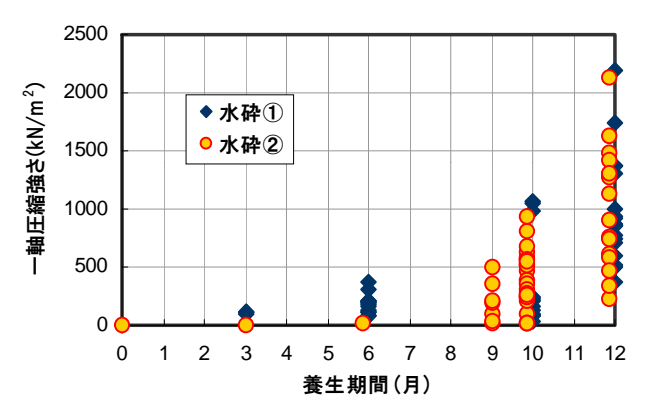


図-2 スラグ地盤の一軸圧縮強さの経時変化

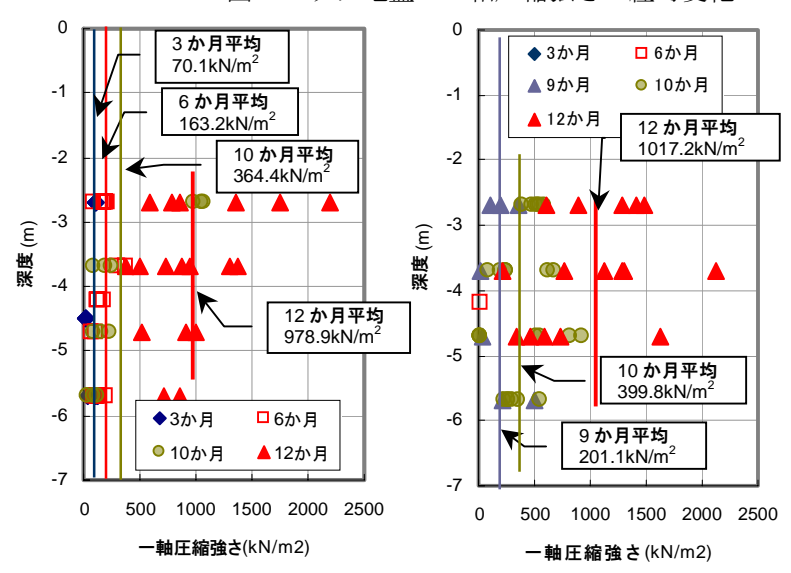


図-3 一軸圧縮強さの深度分布

3. 試験結果

図-2, 図-3 は、採取試料の一軸圧縮強さの経時変化を示したものであるが、一軸圧縮強さは深さ方向に大きくばらついており、下層部の方が弱い傾向にある。また、長期在庫品である水砕①は、製造直後品である水砕②に比べて、早期に固結が始まり、施工後 6 か月後では一軸圧縮強さ $qu=80kN/m^2$ 以上で、採取試料の全深度において固結状況が確認されている。さらに、10 か月後以降では特に上層深度 $2\sim4m$ における強度上昇が大きいが、12 か月後の一軸圧縮強さは最低でも $qu=300\sim400kN/m^2$ 以上と固結が進展している。一方、水砕②においては 6 か月までは、ほとんど一軸圧縮試験が可能な固結は認められなかったが、 $9\sim10$ か月後では十分に固結が進展しており、12 か月後の一軸圧縮強さは最低でも $300\sim400kN/m^2$ 以上と水砕①とほぼ同様な固結のレベルに到達している。

図-4 は標準貫入試験による N 値の深度分 布の経時変化を示したものである. 図より 施工後1か月のN値は3~7程度と小さく、 3~6か月後には、施工後1か月に比べてほ ぼ全深度で上昇している. さらに、9~10 か月後では、全体的上昇しており、特に上 層部の深度 2-4m で大きく上昇しており. 一 軸圧縮強さと同様な傾向と考えられる.

水砕①と水砕②を比較した場合,長期在 庫品である水砕①の方が全体的に N 値は大 きく, 固結が早期に進展しているものと考 えられる.

表-2 は、全体の固結状況を把握するため に、12か月経過後に軟岩用のシュー先端型サンプ

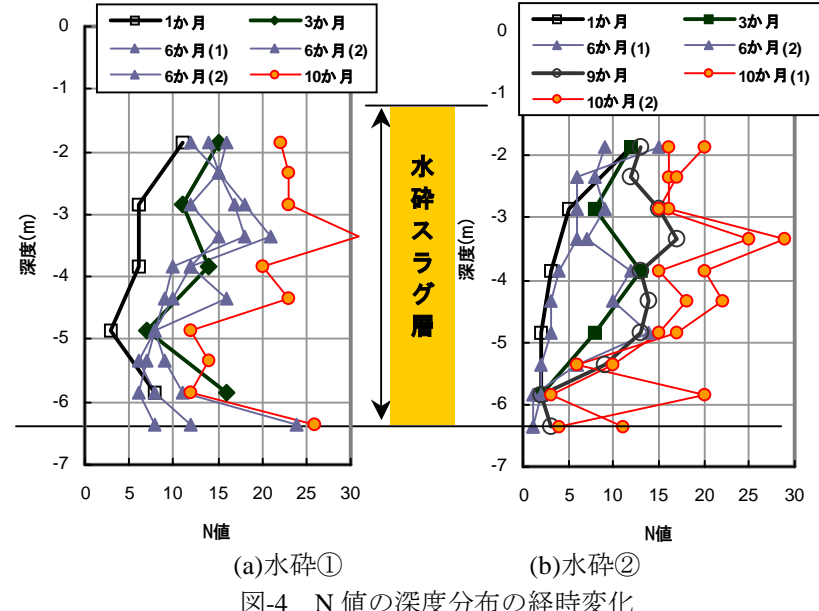


図-4 N値の深度分布の経時変化

ラーにより全長で 20m の試料採取を目標に行った結果の概要を示したものである。尚、表中固結割合は採取できた試 料を手で押して崩れなかった割合を示す。表より水砕①では、ほぼ 100%の試料採取と固結状態を確認できたが、 水砕②では試料採取ができたのは全長の60%程度で、採取された試料の一部は未固結の部分があり、採取できなか った部分を含めて全体の固結状態の把握は今後の課題である.

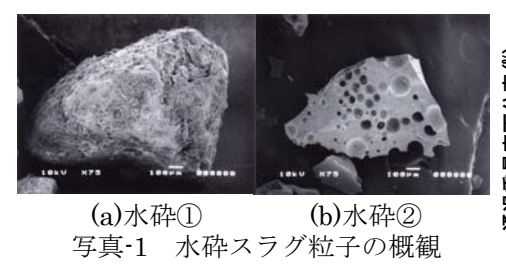
表-2 12 か月経過後のサンプルの採取, 固結状況

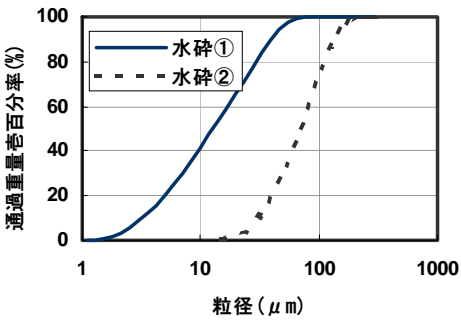
表 2 12 7 7 性過度 3 7 4 7 7 4 3 所以,固相状化				
	ボーリン	サンプリ	採取できた	固結割合
	グ孔 No.	ング長さ	割合(%)	※ (%)
水砕①	S1-12-1	4m	95	100
(2 年在庫)	S1-12-2	4m	98.8	100
	S1-12-3	4m	100	100
	S1-12-4	4m	97.5	100
	S1-12-5	4m	97.5	100
	平均	20m	97.8	100%
水砕②	S2-12-1	4m	59	100
(製造直後)	S2-12-2	4m	55	56
	S2-12-3	4m	90	100
	S2-12-4	4m	60	100
	S2-12-5	4m	66	61
	平均	20m	61.2	85%

※固結の判定は、採取されたサンプルを 指で押して壊れなかったもの割合

うな表面に生成された水和物が 再度水和反応の促進につながる 可能性があることや, 細粒化に伴 う固結促進2)などが考えられるが、 その詳細については各所の水砕 スラグの溶出イオン速度を含め て現在調査中である.

さらに,試験に用いた2種類の水砕スラグ粒子の拡大 顕微鏡写真を写真-1 に示す. 図より水砕①の表面は製造 直後の水砕スラグ②のように表面は平滑でなく多数の 気泡もみられないとともに、水和物と思われる付着物が 見られる. また、水砕スラグにおける $75\mu \sim 9.5$ mmの各 ふるいの通過重量百分率はほとんど差がなかったが, 150 μ以下の粒子だけを取り出して沈降分析を行った結 果を図-5に示す.図より,水砕①は水砕②に比べて細粒 分含有率が多いことが分かった. 現時点では, 長期在庫 の水砕スラグの固結促進メカニズムについて,上述のよ





以上述べたように、水砕スラグ埋立地盤では経時的に固結が進展し、 特に長期在庫スラグは、12か月で十分な固結が確認できた.

図-5 水砕スラグの粒度分布(150μ以下

参考文献 1)高橋邦夫, 菊池喜昭:水砕スラグの力学特性の経年変化,港湾技術研究所報告,No.915,1998.9

2) 高橋邦夫、菊池喜昭、鈴木操他:高炉水砕スラグの固結に及ぼす要因について(その2:粒度の影響). 第57回 土木学会年次学術講演会, 2002.9